

**ДИНАМИКА КРИСТАЛЛИЧЕСКОЙ РЕШЕТКИ
 $\text{YBa}_2\text{Cu}_3\text{O}_6$ ПРИ ГИДРОСТАТИЧЕСКОМ СЖАТИИ:
ПРЕДСКАЗАНИЕ СТРУКТУРНОГО ПЕРЕХОДА
В НЕСОРАЗМЕРНУЮ ФАЗУ**

© М.Ф.Лимонов, А.П.Миргородский*

Физико-технический институт им. А.Ф. Иоффе Российской академии наук,
194021 Санкт-Петербург, Россия

* Институт химии силикатов им. И.В. Гребенщикова

Российской академии наук,

199155 Санкт-Петербург, Россия

(Поступила в Редакцию 12 апреля 1996 г.)

На основе модели потенциальной функции кристаллической решетки $\text{YBa}_2\text{Cu}_3\text{O}_6$, воспроизводящей динамические свойства при нормальных условиях, исследовано поведение ее дисперсионных ветвей при гидростатическом давлении. Результаты расчета демонстрируют наличие сильного ангармонизма у ряда низкочастотных колебаний внутри зоны Бриллюэна, который проявляется в их мягкомудовом поведении при сжатии решетки. Такой эффект должен приводить к фазовому переходу $\text{YBa}_2\text{Cu}_3\text{O}_6$ из тетрагональной структуры в несоразмерную, определяемую периодом модуляции, который, согласно расчетам, примерно в 5 раз больше векторов трансляции базисной решетки. Анализ этих результатов совместно с ранее полученными для $\text{YBa}_2\text{Cu}_3\text{O}_7$ дает основание полагать, что структурная нестабильность решетки в условиях гидростатического давления является характерным свойством для всего ряда $\text{YBa}_2\text{Cu}_3\text{O}_{7-x}$ ($0 \leq x \leq 1$).

Предрасположенность кристаллических решеток к механической дестабилизации за счет мягкомудового поведения и, как следствие этого, к структурным фазовым переходам ($\Phi\Pi$) типа смещения является одним из проявлений сильного фононного ангармонизма. Это свойство обнаруживается во многих перовскитоподобных кристаллах и считается их «семейной» чертой, определяемой скорее особенностями строения решетки, чем характером межатомного взаимодействия.

Есть основания полагать, что перовскитоподобные высокотемпературные сверхпроводники (ППСП) и родственные им несверхпроводящие соединения в этом отношении не являются исключением. Так, например, одна из простейших структур такого типа — тетрагональная решетка La_2CuO_4 — претерпевает $\Phi\Pi$ в ромбическую фазу [1] за счет конденсации «мягкого» ротационного колебания октаэдров CuO_6 . Для более сложного соединения $\text{YBa}_2\text{Cu}_3\text{O}_7$ расчеты из первых принципов [2] показывают, что энергия попеченных колебаний атомов линейной цепочки $\text{Cu}_1\text{O}_{\text{Cu}1}$ (рис. 1), которая является специфическим структурным фрагментом этого кристалла, содержит большой ангармонический вклад, который обусловливает появление двух минимумов

в потенциальном рельефе. Это должно дестабилизировать цепочку относительно ее зигзагообразной деформации и приводить решетку $\text{YBa}_2\text{Cu}_3\text{O}_7$ к ФП. Эксперименты по неупругому рассеянию нейтронов не обнаружили признаков такого ФП в интервале температур 300–20 К [3], однако недавние модельные расчеты [4], поддерживая выводы [2], указывают условия его возникновения при гидростатическом сжатии.

Что касается еще более сложных ППСП висмутового класса $\text{Bi}_4(\text{Sr,Ca})_{m+2}\text{Cu}_m\text{O}_\delta$ ($m = 2, 3, 4, 6$), то для них характерна несоразмерная структурная модуляция [5]. Это позволяет рассматривать такие структуры, как низкосимметричные модификации гипотетических парафаз, не имеющих устойчивой конфигурации при нормальных условиях.

Отметим, что нестабильность решеток ППСП является одной из тем общей дискуссии о роли фононного ангармонизма в механизме сверхпроводимости этих объектов [6–8]. Ангармонизм рассматривают как фактор, способный существенно влиять на величину электрон-фононного взаимодействия и определять высокие значения критической температуры. Однако единого мнения в данном вопросе до сих пор не достигнуто, в частности из-за отсутствия ясного понимания природы ангармонизма, численных оценок и способов его описания в ППСП.

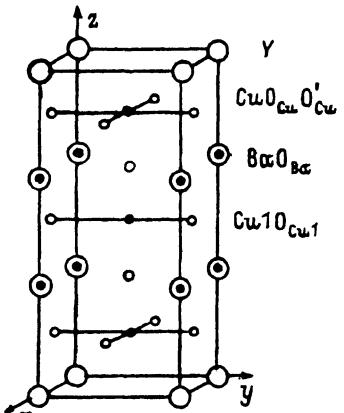


Рис. 1. Кристаллическая структура и обозначение атомов в соединениях $\text{YBa}_2\text{Cu}_3\text{O}_{7-x}$.

доказаны от решетки $\text{YBa}_2\text{Cu}_3\text{O}_6$, структура которой состоит из тех же фрагментов, что и лантановые, висмутовые, таллиевые ППСП.

Настоящая работа продолжает начатые в [4] модельные исследования индуцируемых давлением ангармонических эффектов в колебательных спектрах решеток $\text{YBa}_2\text{Cu}_3\text{O}_{7-x}$ и рассматривает случай $x = 1$.

Есть основания считать, что давление по сравнению с температурой является гораздо более эффективным средством исследования явлений, обусловленных ангармонизмом межатомных сил в кристаллах, в частности процессов структурной дестабилизации решеток.

В связи с этим внимание заслуживает возможность проведения модельных расчетов для оценки ангармонических эффектов в колебательных спектрах ряда соединений $\text{YBa}_2\text{Cu}_3\text{O}_{7-x}$, в котором крайний член ($x = 0$) является «классическим» высокотемпературным сверхпроводником $\text{YBa}_2\text{Cu}_3\text{O}_7$. Переход $\text{YBa}_2\text{Cu}_3\text{O}_6$ – $\text{YBa}_2\text{Cu}_3\text{O}_7$, происходящий за счет изменения содержания кислорода в позиции $\text{O}_{\text{Cu}1}$ (рис. 1), приводит к появлению в решетке линейной цепочки $\text{Cu}_1\text{O}_{\text{Cu}1}$. При этом все остальные структурные фрагменты остаются практически неизменными. Это позволяет рассчитывать на то, что сравнительное рассмотрение обоих объектов в рамках единого модельного подхода позволит глубже понять природу их динамических свойств и, в частности, выяснить, какие из них являются специфическими для решетки $\text{YBa}_2\text{Cu}_3\text{O}_7$, а какие унаследованы от решетки $\text{YBa}_2\text{Cu}_3\text{O}_6$, структура которой состоит из тех же фрагментов, что и лантановые, висмутовые, таллиевые ППСП.

Вполне доступное в современных экспериментах гидростатическое давление порядка 5 ГПа способно вызывать на порядок большие изменения объема кристалла, чем вариации температуры на несколько сотен градусов. При этом наблюдаемые в изотермических условиях ангармонические эффекты можно рассматривать как следствие изменения только межатомных расстояний в решетке. Это делает интерпретацию и понимание полученных результатов проще, чем в условиях изменения температуры, когда важную роль могут играть изменения тепловых амплитуд атомных колебаний, описание которых в рамках динамической теории вызывает значительные трудности.

1. Механическая модель дестабилизации кристалла при гидростатическом сжатии

Согласно концепции Борна [9], частота нормального колебания является мерой механической устойчивости кристалла. Обращение ее в нуль вызывает дестабилизацию решетки и структурный ФП. В рамках теории изменение частоты рассматривают как чисто ангармонический эффект, возникающий при вариации внешних термодинамических параметров: температуры T или давления P [10].

Что касается давления, то характер его влияния на частотный спектр на первый взгляд представляется достаточно очевидным: сжатие кристалла, вызывая уменьшение межатомных расстояний, должно увеличивать межатомные упругие силы, а значит, повышать частоты колебаний, что обычно и наблюдалось экспериментально. Это обстоятельство традиционно используется для объяснения понижения температуры сегнетоэлектрических ФП гидростатическим давлением $\Delta T_0/\Delta P < 0$, т. е. стабилизации парапазы [10].

Приведенное ниже модельное рассмотрение имеет целью объяснить природу обратного эффекта ($\Delta T_0/\Delta P > 0$), который характерен для несегнетоэлектрического ФП [10], когда мягкая мода является неполярной. При этом дальнодействующие (диполь-дипольные) силы полностью отсутствуют в уравнении движения атомов [11], и соотношение $\Delta T_0/\Delta P > 0$ (соответствующее дестабилизации высокосимметричной фазы давлением) означает, что близкодействующие возвращающие силы, которые в этом случае однозначно определяют частоту мягкой моды, уменьшаются при сближении атомов.

Поскольку такие силы обусловлены изменением взаимного расположения атомов при колебаниях, их можно связывать с соответствующими деформациями структурных фрагментов решетки (межатомных связей, углов между ними и т. д), совокупность которых образует базис естественных (внутренних) координат q [12], в котором задается потенциальная функция ($\Pi\Phi$) $V(q)$ кристалла. Динамические свойства свободного кристалла ($P = 0$) в рамках такой модели определяются величинами $k = \partial^2 V / \partial q \partial q$ (т. е. упругостями структурных фрагментов и взаимодействиями между ними), набор которых образует матрицу K .

Пусть фрагменты решетки являются абсолютно упругими, т. е. матрица K не зависит от сжатия кристалла, что предельно упрощает модель. Под действием гидростатического давления P кристалл претерпевает однородное сжатие U , микроскопическая картина которого

описывается совокупностью внутренних деформаций, т. е. вектором q , определяемым (в линейном приближении) как

$$q = \kappa P, \quad (1)$$

где $\kappa \equiv \partial q / \partial P$ — коэффициенты сжимаемости структурных фрагментов [13]. Новое стационарное состояние кристалла, соответствующее давлению P , характеризуется наличием статических микроскопических сил (напряжений) F , возникающих в структурных фрагментах решетки за счет их деформаций q . Величины этих сил с учетом (1) могут быть описаны как

$$F \equiv \partial V / \partial q = kq = k\kappa P. \quad (2)$$

Условие стационарности означает, что силы F , действуя на атомы, взаимно уравновешены

$$\partial V / \partial \alpha = (\partial V / \partial q)(\partial q / \partial \alpha) = FB_\alpha = 0 \quad (3)$$

и, действуя на поверхность кристалла, компенсируют внешнее давление

$$\partial V / \partial U = (\partial V / \partial q)(\partial q / \partial U) = FB_u = P, \quad (4)$$

где α — смещение атома вдоль одной из декартовых осей ($\alpha = x, y, z$), $B_\alpha = \partial q / \partial \alpha$, $B_u = \partial q / \partial U$.

Матрицу атомных силовых постоянных $V_{\alpha\beta} \equiv \partial^2 V / \partial \alpha \partial \beta$, определяющую (с учетом масс атомов) частоты гармонических колебаний, находим, дифференцируя левую часть соотношения (3)

$$V_{\alpha\beta} = \frac{\partial}{\partial \alpha} [(\partial V / \partial q)(\partial q / \partial \beta)] = \frac{\partial^2 V}{\partial q \partial q} \frac{\partial q}{\partial \alpha} \frac{\partial q}{\partial \beta} + \frac{\partial H}{\partial q} \frac{\partial q^2}{\partial \alpha \partial \beta}. \quad (5)$$

Вводя величины $B_{\alpha\beta} \equiv \partial^2 q / \partial \alpha \partial \beta$, определяемые, как и B_α , геометрией решетки, приведем (5) к виду [14]

$$V_{\alpha\beta} = B_\alpha K B_\beta + F B_{\alpha\beta}. \quad (6)$$

Наличие двух слагаемых в правой части (6) соответствует фундаментальному результату динамической теории [15], согласно которому близкодействующий межатомный потенциал решетки независимо от его конкретного вида вносит два вклада в уравнение движения атомов, называемые соответственно радиальным (продольным) и тангенциальным (поперечным). Центральный момент нашего рассмотрения связан с величиной тангенциального вклада, т. е. со вторым членом в правой части уравнений (5), (6). Как видно из (6), (4) и (2), эта величина определяется напряжением $F(P)$, а следовательно, матрица $V_{\alpha\beta}$ является функцией давления [14].

Итак, даже в рамках простейшей (шарики и идеальные пружинки), но физически согласованной (условия (3) и (4)) динамической модели нормальные колебания решетки обладают существенным ангармонизмом, проявляющимся в зависимости их частоты от внешнего давления.

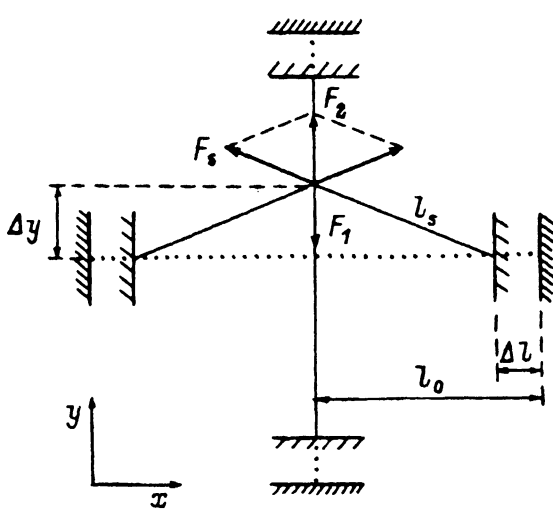


Рис. 2. Картина сил, возникающих на атоме при его смещении на величину Δy при изотропном сжатии системы.

Пунктирные линии обозначают четыре пружинки в исходном (свободном) состоянии, сплошные — пружины в сжатом на величину Δl состоянии.

Этот ангармонизм не может быть «отключён» за счет какой-либо идеализации модели, так как выражения (5), (6) имеют самый общий вид и ни одна модель не может игнорировать условие (4). Поэтому такой ангармонизм является универсальным механическим свойством системы упруго-связанных материальных точек [16].

Важно отметить, что статические силы межатомного отталкивания, возникающие при сжатии решетки, влияют на значения колебательных частот вполне однозначно, а именно понижают их и тем самым дестабилизируют решётку [17].

Чтобы наглядно понять механизм такого эффекта, обратимся к системе, изображённой на рис. 2, которая состоит из материальной точки (атома) и четырех идеальных пружин, ориентированных вдоль декартовых осей x и y . Пружины характеризуются коэффициентами Гука k и при отсутствии внешних сил длиной l_0 . При этих условиях малый сдвиг атома вдоль оси y на расстояние Δy вызывает возвращающую силу $F_1 = 2k\Delta y$, так что выражение для атомной силовой постоянной V_{yy} имеет вид $V_{yy} = 2k$.

Пусть в результате внешнего изотропного воздействия пружины сжимаются, и их длина укорачивается на величину Δl . На пружинах возникают силы отталкивания $F = k\Delta l$, которые взаимно компенсируются при действии на атом вследствие симметрии. Определим значение V_{yy} при таком состоянии системы. Как и прежде, сдвиг атома Δy вызывает возвращающую силу $F_1 = 2k\Delta y$ со стороны двух пружин, ориентированных вдоль оси y . Пружины, ориентированные вдоль оси x , отклоняются и действуют на атом силами отталкивания F_s .

$$F_s = k(l_0 - l_s) = k \left(l_0 - \sqrt{(l_0 - \Delta l)^2 + \Delta y^2} \right) \quad (7)$$

(величины которых определяются длинами пружин l_s , соответствующими мгновенной геометрии системы (рис. 2)), что приводит к резуль-

тирующей F_2 , направленной против силы F_1 . Таким образом, суммарная сила, действующая на смещенный атом, равна $F_y = F_1 - F_2$. Принимая во внимание (рис. 2), что

$$F_2 = 2k(l_0 - \sqrt{(l_0 - \Delta l)^2 + \Delta y^2}) \frac{\Delta y}{l_0 - \Delta l}, \quad (8)$$

получаем новое значение V_{yy}

$$V_{yy} = \lim_{\Delta y \rightarrow 0} \frac{F_y}{\Delta y} = 2k - \frac{2k\Delta l}{l_0 - \Delta l}. \quad (9)$$

Второй член в правой части (9), который включает статические напряжения $F = k\Delta l$ при $y = 0$, есть тангенциальный вклад в V_{yy} (см. (6)). Влияние этого вклада на устойчивость положения центрального атома связано с кинематикой системы. В то время как радиальная часть величины V_{yy} (упругость пружин) определяет силу F_1 , возвращающую атом в исходное положение, и таким образом обеспечивает устойчивость системы, тангенциальная часть (напряжения пружин) создает силу F_2 , препятствующую возвращению смещенного атома в это положение, дестабилизируя равновесную (симметричную) конфигурацию системы. Очевидно, при $F_1 > F_2$ система устойчива, а при $F_1 \leq F_2$ она дестабилизируется.

Как видно из (9), при $\Delta l_{crit} = \frac{1}{2}l_0$ величина V_{yy} обращается в нуль. При давлении P , обеспечивающем условие $\Delta l > \frac{1}{2}l_0$, атом стремится уйти из высокосимметричного положения и перевести систему в менее симметричную конфигурацию, т. е. вызвать $\Phi\Pi$.

Если упростить систему на рис. 2, придав ей вид линейной цепочки из двух пружинок (отключив, например, пружинки вдоль y), устойчивое положение атома относительно оси y может быть обеспечено только за счет растяжения связей. В сжатом состоянии линейная конфигурация неустойчива. Заметим, что это в равной мере справедливо в отношении плоской конфигурации системы на рис. 2. При ее сжатии положение центрального атома относительно выхода из плоскости xy становится неустойчивым, и система стремится принять пирамидообразную конфигурацию.

Поскольку и линейные, и плоские фрагменты с центральными атомами в особой позиции, как правило, присутствуют в ППСП-структурах, проявляющийся при гидростатическом сжатии механический ангармонизм, рассмотренный выше, является характерной чертой колебаний их решеток.

Однако важно отметить, что описание межатомных связей в виде идеальных пружинок в условиях, когда Δl не является малой величиной относительно l_0 , физически нереалистично. В силу «существенного» ангармонизма межатомных потенциалов величины k должны возвращаться при сближении атомов. Таким образом, оба члена в правой части (6) меняются при сжатии кристалла, что соответствует двум типам колебательного ангармонизма существенно разной природы. Первый из них, связанный с радиальным вкладом в величину $V_{\alpha\alpha}$, стабилизирует сжатую решетку, а второй, присущий тангенциальной компоненте

$V_{\alpha\alpha}$, ее дестабилизирует. Как правило, стабилизирующий фактор преобладает, и частоты возрастают при гидростатическом сжатии. Однако, если кинетика атомных движений обеспечивает возможность тангенциальным силам играть доминирующую роль в некоторой нормальной координате, повышение гидростатического давления, увеличивая напряжения F , будет понижать частоту соответствующей моды и приводить кристалл к ФП.

Как отмечалось выше, особенности геометрического строения перовскитоподобных структур создают кинематические условия для таких ангармонических эффектов, и данная работа имеет целью получить их численные оценки для решетки $\text{YBa}_2\text{Cu}_3\text{O}_6$.

2. Модель потенциальной функции кристаллической решетки $\text{YBa}_2\text{Cu}_3\text{O}_6$ в условиях гидростатического сжатия

В настоящей работе для исследования поведения колебательных спектров $\text{YBa}_2\text{Cu}_3\text{O}_6$ при гидростатическом сжатии использовался подход, применявшийся ранее для моделирования динамических свойств подобных соединений [4, 16]. Для расчетов использовалась программа CRYME [18], которая позволяет получать полную информацию о колебаниях в Г-точке зоны Бриллюэна (ЗБ) (симметрия, частота и форма колебаний), о дисперсии колебательных ветвей вдоль произвольного направления ЗБ, определять упругие константы C_{ik} , вычислять сжимаемости κ и ряд других характеристик.

При расчете использовались параметры решетки и координаты атомов при нормальных условиях, приведенные в [19] для соединения с близким содержанием кислорода $\text{YBa}_2\text{Cu}_3\text{O}_{6.24}$.

При $P = 0$ напряжения F в решетке считались равными нулю в соответствие с формулой (2), и динамические свойства кристалла определялись только продольной частью $V_{\alpha\beta}$, т. е. матрицей K (см. (6)). Таким образом, расчетная схема включала следующие этапы: а) задание параметров k для решетки $\text{YBa}_2\text{Cu}_3\text{O}_6$ при $P = 0$; б) изменение этих параметров при $P > 0$, т. е. численное описание ангармонизма межатомных потенциалов, определяющего возрастание первого члена в правой части (6) при сжатии решетки; с) определение величин F при $P > 0$ и описание на их основе тангенциальных сил в уравнениях движения, т. е. второго вклада в правой части (6). В рамках этой схемы была использована модель валентно-силового поля кристаллической решетки $\text{YBa}_2\text{Cu}_3\text{O}_6$, предложенная в [20]. В настоящей работе она была незначительно модифицирована, что позволило улучшить описание экспериментальных данных. Набор силовых констант приведен в табл. 1. В модели учитывались диагональные двухцентровые взаимодействия S_i (атом-атом), диагональные трехцентровые взаимодействия B_i , определяющие упругости углов, и трехцентровые недиагональные взаимодействия H_i , определяющие динамическое взаимодействие двух межатомных связей, имеющих общий атом. Вместе с набором силовых констант из работы [20] в данных расчетах дополнительно рассматривались два слабых взаимодействия: $S_{16}(\text{Ba}-\text{Ba}) = 0.1$ и $S_{17}(\text{Cu}1-\text{Cu}1) = 0.1$. Значения остальных констант S_i , B_i и H_i при $P = 0$ соответствуют использованным в [20].

Таблица 1

Силовые константы, структурные параметры* и барические зависимости длины связей dl/dP^{**} для кристаллической решетки $\text{YBa}_2\text{Cu}_3\text{O}_6$ при гидростатическом давлении

Силовые константы	$\frac{dl}{dP}$	$P = 0$		$P = 20 \text{ GPa}$		$P = 34 \text{ GPa}$	
		Длина или угол	Константы	Длина	Константы	Длина	Константы
$S_1 \text{ Cu1-O}_{\text{Ba}}$	48	1.822	1.90; 0	1.726	2.98; -0.0858	1.659	3.88; -0.1454
$S_2 \text{ Cu-O}_{\text{Cu}}$	58	1.944	1.30; 0	1.831	1.90; -0.0878	1.747	2.72; -0.1489
$S_3 \text{ Cu-O}_{\text{Ba}}$	158	2.411	0.40; 0	2.095	0.95; -0.0518	1.874	1.61; -0.0878
$S_4 \text{ Y-O}_{\text{Cu}}$	38	2.395	0.55; 0	2.319	0.82; -0.0520	2.266	1.02; -0.0881
$S_5 \text{ Ba-O}_{\text{Ba}}$	86	2.763	0.25; 0	2.591	0.39; -0.0178	2.471	0.54; -0.0302
$S_6 \text{ Ba-O}_{\text{Cu}}$	128	2.937	0.22; 0	2.681	0.32; -0.0194	2.502	0.50; -0.0329
$S_7 \text{ O}_{\text{Cu}}-\text{O}_{\text{Cu}}$	-16	2.840	0.22; 0	2.872	0.20; +0.0054	2.894	0.19; +0.0091
$S_8 \text{ Cu-Y}$	82	3.196	0.10; 0	3.032	0.16; -0.0050	2.918	0.20; -0.0085
$S_9 \text{ Cu1-Ba}$	139	3.544	0.20; 0	3.266	0.26; -0.0156	3.072	0.30; -0.0263
$S_{10} \text{ Ba-Ba}$	107	3.858	0.10; 0	3.644	0.16; -0.0050	3.495	0.20; -0.0085
$S_{11} \text{ Cu1-Cu1}$	107	3.858	0.10; 0	3.644	0.16; -0.0050	3.495	0.20; -0.0085
$B_1 \text{ O}_{\text{Cu}}-\text{Cu}-\text{O}'_{\text{Cu}}$	88.9		0.45		0.59		0.69
$B_2 \text{ O}_{\text{Ba}}-\text{Cu}-\text{O}_{\text{Cu}}$	98.4		0.20		0.24		0.27
$H_1 S_1-S_1$			-0.30		-0.36		-0.40
$H_2 S_6, S_7-S_6, S_7$			0.14		0.20		0.24

* Силовые константы приведены в следующих единицах: S_i — mdyn/Å, B_i — mdyn·Å, H_i — mdyn/Å, расстояния — в Å, углы — в градусах.

** Величины dl/dP приведены в единицах Å/10⁴ GPa.

Для расчета колебательных спектров $\text{YBa}_2\text{Cu}_3\text{O}_6$ при различных внешних гидростатических давлениях (всего 12 значений в диапазоне $0 < P \leq 34 \text{ GPa}$) определялись новые силовые поля с учетом изменения геометрии решетки (межатомных расстояний) и силовых констант. Изменение длин межатомных расстояний для каждого нового значения P рассчитывалось по формуле $\Delta l = \frac{dl}{dP} \Delta P$ с использованием величин $\frac{dl}{dP}$, вычисленных с помощью программы CRYME [18] (табл. 1).

Изменения значений силовых констант S_i при сжатии решетки определялись на основе их эмпирических зависимостей от межатомных расстояний $S_i(l)$, которые приведены на рис. 3 для $S_{\text{Cu}-\text{O}}$, $S_{\text{Y}-\text{O}}$, $S_{\text{Ba}-\text{O}}$ и $S_{\text{Cu}-\text{Y}}$. Эти зависимости были получены из наборов соответствующих констант S_i , найденных ранее при расчетах динамических свойств соединений $\text{YBa}_2\text{Cu}_3\text{O}_6$ [20], $\text{YBa}_2\text{Cu}_3\text{O}_7$ [21], $\text{GdBa}_2\text{Cu}_3\text{O}_6$ [22] и $\text{GdBa}_2\text{Cu}_3\text{O}_7$ [23] при $P = 0$. Этому способствовало наличие в указанных соединениях целого ряда химически однотипных связей различной длины. В частности, кристаллические решетки $\text{YBa}_2\text{Cu}_3\text{O}_7$ и $\text{GdBa}_2\text{Cu}_3\text{O}_7$ содержат по пять связей Cu-O, а $\text{YBa}_2\text{Cu}_3\text{O}_6$ и $\text{YBa}_2\text{Cu}_3\text{O}_6$ — по три связи Cu-O различной длины, что позволило получить 16 значений констант $S_{\text{Cu}-\text{O}}$ и построить эмпирическую зависимость $S_{\text{Cu}-\text{O}}(l)$, приведенную на рис. 3.

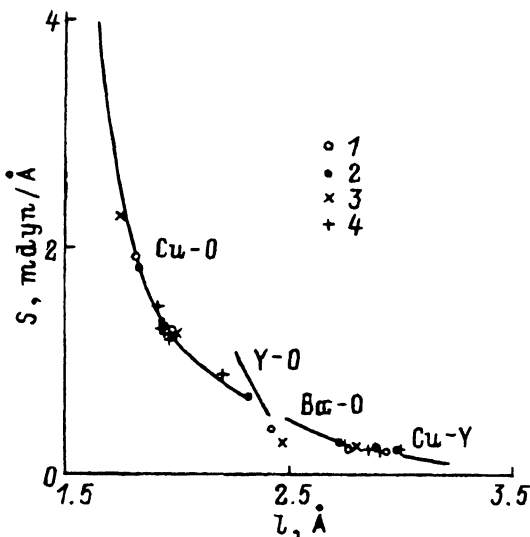


Рис. 3. Зависимость величин силовых постоянных $S_{\text{Cu}-\text{O}}$, $S_{\text{Y}-\text{O}}$, $S_{\text{Ba}-\text{O}}$ и $S_{\text{Cu}-\text{Y}}$ от межатомного расстояния l .

Приведены значения констант: 1 — для $\text{YBa}_2\text{Cu}_3\text{O}_6$ [20], 2 — $\text{YBa}_2\text{Cu}_3\text{O}_7$ [21], 3 — $\text{CdBa}_2\text{Cu}_3\text{O}_6$ [22], 4 — $\text{GdBa}_2\text{Cu}_3\text{O}_7$ [23].

Интересно отметить, что полученные нами кривые $S_i(l)$ для различных пар атомов образуют единую монотонную зависимость двухцентровых силовых постоянных от расстояния $S(l)$ (рис. 3). Возможно, это связано с тем, что основной вклад в величины $S(l)$ имеет общую природу, так как определяется однотипными силами, а именно некулоновским отталкиванием между электронными оболочками атомов.

Величины F для заданного давления P находились по формуле (2).

Таким образом, оба вклада в правой части (6) однозначно определялись для каждого значения P заново, и расчет динамических свойств решетки $\text{YBa}_2\text{Cu}_3\text{O}_6$ при вариации давления носил самосогласованный характер.

3. Колебательные спектры кристаллической решетки $\text{YBa}_2\text{Cu}_3\text{O}_6$ при атмосферном давлении

При нормальных условиях соединение $\text{YBa}_2\text{Cu}_3\text{O}_6$ имеет тетрагональную структуру с пространственной группой D_{4h}^1 . Колебательное представление в центре ЗБ имеет вид

$$\Gamma = 4A_{1g} + B_{1g} + 5E_g + 6A_{2u} + B_{2u} + 7E_u, \quad (10)$$

включая акустические моды симметрии $A_{2u} + E_u$. Оптические колебания делятся на четные относительно центра инверсии (которые могут быть активны только в спектрах комбинационного рассеяния) и нечетные (могут быть активны только в инфракрасных спектрах).

Чтобы получить наиболее полную информацию о колебательном спектре $\text{YBa}_2\text{Cu}_3\text{O}_6$, в настоящей работе были рассчитаны фоновые ветви вдоль всех высокосимметричных направлений ЗБ, а имен-

Таблица 2

Особые точки и направления в зоне Бриллюэна, симметрия колебаний кристаллической решетки $\text{YBa}_2\text{Cu}_3\text{O}_6$, а также расчетные частоты (в см^{-1}) мягкомодовых колебаний при $P = P_c$

Обозначения и симметрия особых точек и направлений в зоне Бриллюэна		Симметрия колебаний		Симметрия акустических мод		Симметрия E_g -моды		Симметрия и частота мягких мод	
1	2	3	4	4	5	5	6	7	
Γ	D_{4h}	$4A_{1g} + B_{1g} + 5E_g + 6A_{2u} + B_{2u} + 7E_u$	$A_{2u} + E_u$	E_g	—	—	—	—	
$\Gamma \rightarrow X(0, \xi, 0)$	C_{2v}	$12A_1 + 5A_2 + 7B_1 + 12B_2$	$A_1 + B_1 + B_2$	$A_2 + B_2$	—	—	—	—	
$\Gamma \rightarrow Z(0, 0, \xi)$	C_{4v}	$10A_1 + 2B_1 + 12E$	$A_1 + E$	E	—	—	—	—	
$\Gamma \rightarrow M(\xi, \xi, 0)$	C_{2v}	$11A_1 + 6A_2 + 8B_1 + 11B_2$	$A_1 + B_1 + B_2$	$A_2 + B_2$	B_2	19	—	—	
$\Gamma \rightarrow R(0, \xi, \xi)$	C_s	$24A' + 12A''$	$2A' + A''$	$A' + A''$	A'	20	—	—	
$\Gamma \rightarrow A(\xi, \xi, \xi)$	C_s	$22A' + 14A''$	$2A' + A''$	$A' + A''$	A'	0	—	—	

но $\Gamma(0,0,0) \rightarrow X(0,0.5,0)$, $\Gamma \rightarrow M(0.5,0.5,0)$, $\Gamma \Rightarrow R(0,0.5,0.5)$, $\Gamma \Rightarrow A(0.5,0.5,0.5)$, $\Gamma \Rightarrow Z(0,0,0.5)$. Обозначения особых точек соответствуют принятым в работе [24]. Подробная информация о симметрии колебаний для ряда особых точек ЗБ решетки $\text{YBa}_2\text{Cu}_3\text{O}_6$ содержится в табл. 2. В первом столбце этой таблицы указаны компоненты волнового вектора \mathbf{K} для различных направлений в ЗБ. Во втором столбце приведены точечные группы симметрии волновых векторов, в третьем — соответствующие им полные колебательные представления, в четвертом выделены представления, по которым преобразуются колебания акустических ветвей. Информация, представленная в других столбцах этой таблицы, будет обсуждаться далее.

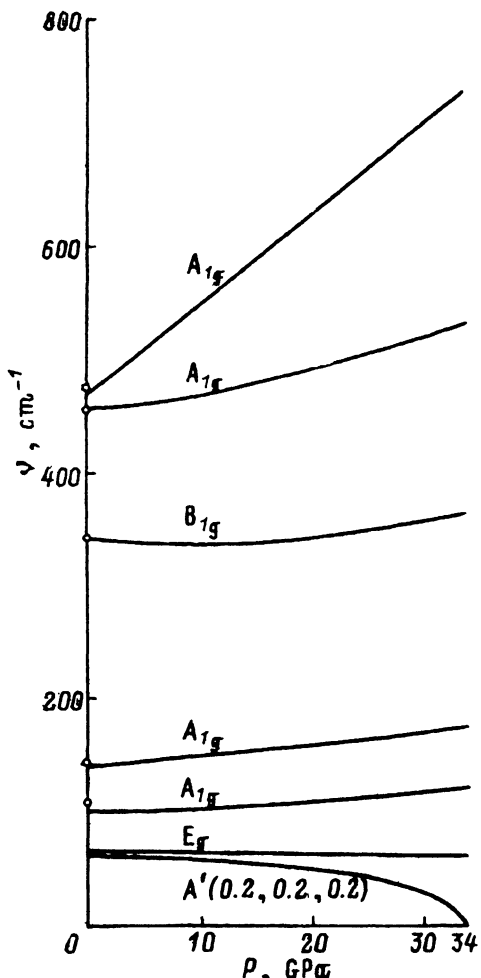


Рис. 4. Расчетные барические зависимости колебательных частот кристаллов $\text{YBa}_2\text{Cu}_3\text{O}_6$.

Приведены результаты для колебаний симметрии A_{1g} , B_{1g} и E_g (для самой низкочастотной моды) в центре ЗБ, а также для наименшей моды симметрии A' с волновым вектором $\mathbf{K} = (0.2, 0.2, 0.2)$. Светлые кружки — экспериментальные данные для A_{1g} - и B_{1g} -мод [25].

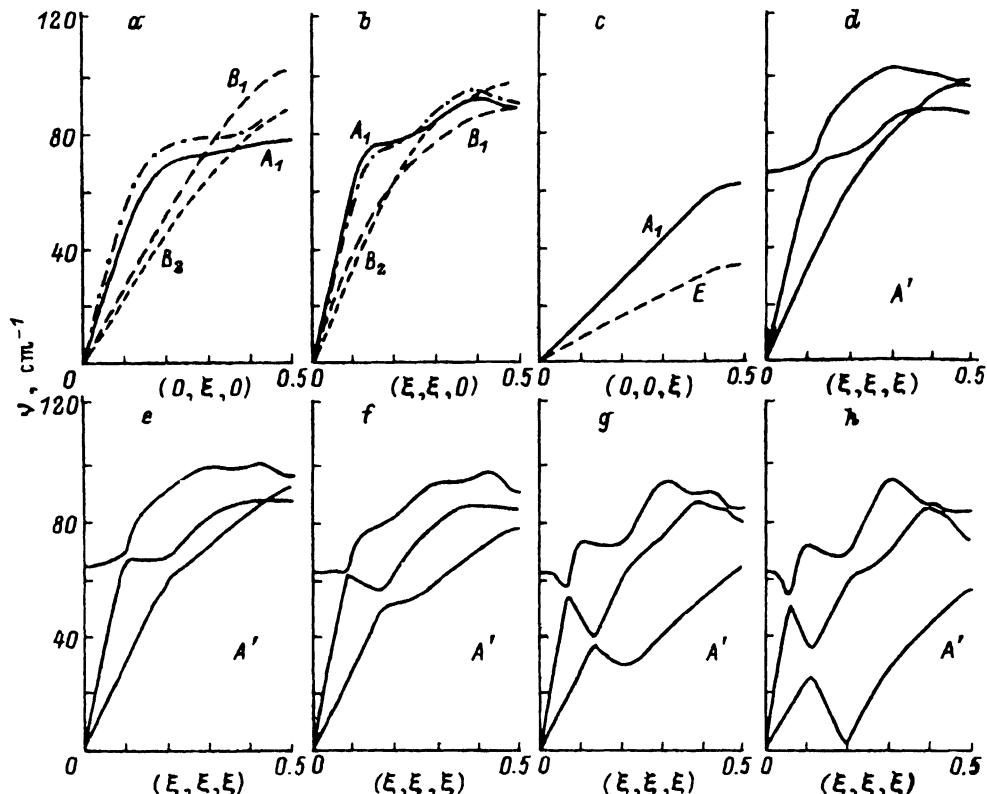


Рис. 5. Дисперсия низкочастотных колебательных ветвей в кристаллах $\text{YBa}_2\text{Cu}_3\text{O}_6$.

a-d — экспериментальные (штрих-пунктир на частях *a* [27] и *b* [28]) и расчетные дисперсионные кривые при атмосферном давлении. *e-h* — расчетные барические зависимости дисперсионных ветвей вдоль направления $\Gamma(0,0,0) \rightarrow A(0.5,0.5,0.5)$ для колебаний симметрии A' . $P(\text{GPa})$: *a-d* — 0, *e* — 10, *f* — 20, *g* — 30, *h* — 34.

В работе [20] проанализированы результаты расчета колебательных спектров $\text{YBa}_2\text{Cu}_3\text{O}_6$ при $P = 0$. Из сопоставления расчетных и экспериментальных данных (спектры КР [25] и ИК-спектры [26]) можно сделать вывод о том, что в рамках рассматриваемой модели силового поля удается достаточно хорошо описать колебательный спектр соединения $\text{YBa}_2\text{Cu}_3\text{O}_6$ в центре ЗБ. На рис. 4 приведены экспериментальные значения пяти частот КР — активных колебаний $4A_{1g} + B_{1g}$, которые были неоднократно исследованы и интерпретация которых не вызывает сомнений. Отметим, что расширение силового поля [20] за счет добавления двух констант $S_{10}(\text{Ba-Ba})$ и $S_{11}(\text{Cu1-Cu1})$ не повлекло за собой изменения частот и форм колебаний в центре ЗБ (так как эти константы описывают взаимодействия пар атомов, разделенных постоянной решетки), но позволило улучшить воспроизведение дисперсионных ветвей, определенных в экспериментах по неупругому рассеянию нейтронов [27, 28].

На рис. 5 представлены расчетные и известные из литературы экспериментальные дисперсионные ветви, соответствующие низкочастот-

ным оптическим и акустическим колебаниям $\text{YBa}_2\text{Cu}_3\text{O}_6$. Дисперсия фононов по направлению $(0, \xi, 0)$ экспериментально исследовалась в работах [27, 28]. Согласно их результатам, две акустические ветви демонстрируют обычное монотонное поведение, а третья имеет «ступеньку» в области волновых векторов $0.2 < \xi < 0.35$. Такая особенность дисперсии фононов была воспроизведена в наших расчетах (рис. 5, a), причем «ступенькой» обладает акустическая ветвь, имеющая симметрию A_1 .

Результаты экспериментального изучения дисперсии колебаний с $\mathbf{K} = (\xi, \xi, 0)$ приведены в работе [28]. Из трех акустических ветвей была исследована лишь одна. Она имеет две особенности: перегиб при $\xi \approx 0.2$ и четко выраженный максимум при $\xi \approx 0.35$. Расчет хорошо воспроизводит этот экспериментальный факт: акустическая ветвь симметрии A_1 имеет именно такую форму (рис. 5, b). Две другие ветви (B_1 и B_2) никаких особенностей не обнаруживают. К сказанному можно добавить, что у родственного соединения $\text{YBa}_2\text{Cu}_3\text{O}_7$ частоты двух таких же акустических ветвей являются монотонными функциями от \mathbf{K} при $0 \leq \xi \leq 0.5$, а третья имеет аномалию в исследованном для нее диапазоне $0 \leq \xi \leq 0.15$ [29].

Что касается дисперсии фононов в $\text{YBa}_2\text{Cu}_3\text{O}_6$ вдоль направления $(0, 0, \xi)$, то, согласно расчетам, все три акустические ветви демонстрируют обычное поведение (рис. 5, c). В работах [27–29] приводятся экспериментальные результаты только для соединения $\text{YBa}_2\text{Cu}_3\text{O}_7$, у которого ветви имеют монотонные зависимости от $\mathbf{K} = (0, 0, \xi)$.

Особый интерес (см. далее) представляют колебания с волновым вектором $\mathbf{K} = (\xi, \xi, \xi)$, $0 \leq \xi \leq 0.5$. Результаты их расчета при $P = 0$ приведены на рис. 5, d. Нам неизвестны экспериментальные данные о дисперсии колебательных ветвей в этом направлении ЗБ для $\text{YBa}_2\text{Cu}_3\text{O}_6$ (как и для других перовскитоподобных купратных оксидов).

4. Динамика кристаллической решетки $\text{YBa}_2\text{Cu}_3\text{O}_6$ при гидростатическом сжатии

Перейдем теперь к результатам расчета колебательных спектров $\text{YBa}_2\text{Cu}_3\text{O}_6$ при $P > 0$. Часть их, содержащая интересующие нас эффекты, представлена на рис. 4, 5.

К сожалению, ни спектры КР, ни ИК-спектры $\text{YBa}_2\text{Cu}_3\text{O}_6$ в условиях гидростатического давления экспериментально не изучались. В случае соединения $\text{YBa}_2\text{Cu}_3\text{O}_7$ в работах [30, 31] исследовались барические зависимости частот колебаний симметрии A_g и было установлено, что они возрастают при увеличении давления. Заметим, что этот эффект был описан количественно в расчетах [4] на основе подхода, используемого в данной работе. Согласно результатам настоящей работы, колебания симметрии A_{1g} в структуре $\text{YBa}_2\text{Cu}_3\text{O}_6$ имеют аналогичные барические зависимости (рис. 4). Причем, как и в случае A_g -мод в спектрах $\text{YBa}_2\text{Cu}_3\text{O}_7$, с ростом частоты колебания величина $d\nu/dP$ возрастает.

На рис. 4 также представлено поведение самой низкочастотной среди E_g -колебаний в центре ЗБ моды с частотой 66 cm^{-1} при $P = 0$. Сим-

метрия нецентрозонных колебаний, генетически связанных с этой модой, приведена в столбце 5 табл. 2. Согласно расчетам, указанное выше колебание типа E_g определяется синфазными смещениями слоев атомов BaO_{Ba} и $\text{CuO}_{\text{Cu}}\text{O}'_{\text{Cu}}$ по оси x или y со следующими амплитудами атомов (в относительных единицах):

$$(5\text{Ba} + 5\text{O}_{\text{Ba}}) + (3\text{Cu} + 3\text{O}_{\text{Cu}} + 2\text{O}'_{\text{Cu}}). \quad (11)$$

С увеличением давления его частота незначительно понижается и для $P = 34 \text{ GPa}$ составляет 61 cm^{-1} . При этом меняется и форма колебания

$$(4\text{Ba} + 5\text{O}_{\text{Ba}}) + (1\text{Cu} + 1\text{O}_{\text{Cu}} + 1\text{O}'_{\text{Cu}}), \quad (12)$$

из которой следует, что вклад слоя $\text{CuO}_{\text{Cu}}\text{O}'_{\text{Cu}}$ уменьшается и колебание преимущественно определяется смещением слоя BaO_{Ba} .

Однако наиболее существенные изменения происходят с низкочастотными фоновыми ветвями вдоль направлений $(\xi, \xi, 0)$, $(0, \xi, \xi)$ и, особенно, вдоль направления (ξ, ξ, ξ) , которое характеризуется точечной симметрией C_s . Колебания кристаллической решетки $\text{YBa}_2\text{Cu}_3\text{O}_6$ с волновым вектором (ξ, ξ, ξ) внутри ЗБ имеют симметрию $2A' + 1A''$, причем акустические моды относятся к представлениям $2A' + A''$ (табл. 2).

На рис. 5, $e-h$ представлены дисперсионные зависимости трех самых низкочастотных колебательных ветвей симметрии A' : двух акустических и одной оптической, выходящей из E_g -моды. С ростом давления происходит сложная эволюция колебательного спектра. На рис. 4 показана барическая зависимость частоты колебания, принадлежащего наименее колебательной ветви A' при фиксированном значении волнового вектора $\mathbf{K} \approx (0.2, 0.2, 0.2)$. Видно, что это колебание проявляет мягкомодовый характер при сжатии решетки, и его частота обращается в нуль при давлении $P_c \approx 34 \text{ GPa}$. Этот факт следует считать признаком ФП с критическим давлением P_c . Согласно результатам симметрийного анализа, конденсация моды представления A' в точке ЗБ с координатами $\mathbf{K} = (\xi, \xi, \xi)$, которые не являются кратными величинами обратных векторов решетки, индуцирует ФП из тетрагональной структуры D_{4h}^1 в несоразмерную фазу, имеющую симметрию четырехмерной пространственной группы $P_{\bar{1}}^{B2/m}$ (обозначение приводится в соответствии с классификацией [32]).

Анализируя картину модификации дисперсионных ветвей при разных давлениях (рис. 5), можно сделать вывод о том, что конденсация фона на при $\mathbf{K} \approx (0.2, 0.2, 0.2)$ индуцируется мягкомодовым поведением участка ветви, имеющего при $P = 0$ форму «ступеньки» и генетически связанного с отмеченной выше низкочастотной центровонной модой типа E_g . На рис. 5, d хорошо видно, что порождаемая этой модой оптическая ветвь A' дважды интерферирует с акустическими ветвями той же симметрии (так называемый эффект непересечения) при $\xi \approx 0.1$ и ≈ 0.4 .

Для получения информации о форме конденсирующегося фона на была проведена оценка изменения его частоты при $P \approx P_c$ в результате последовательного варьирования массы всех атомов кристаллической решетки $\text{YBa}_2\text{Cu}_3\text{O}_6$. Было установлено, что наибольший эффект возникает при «изотопическом» замещении атомов ^{13}Cu , менее су-

щественный — при замещении атомов Ba , O_{Ba} и CuI и совсем незначительный — при замещении атомов Y , O_{Cu} и O'_{Cu} . Таким образом, мягкую моду можно рассматривать как результат суперпозиции колебаний трех ветвей симметрии A' — двух акустических и одного оптического колебания слоев BaO_{Ba} .

Информация о поведении других низкочастотных колебаний кристаллической решетки $\text{YBa}_2\text{Cu}_3\text{O}_6$ в условиях гидростатического давления представлена в табл. 2. В столбце 6 для каждого из высокосимметрических направлений в ЗБ указана симметрия самой низкочастотной колебательной ветви. Если с увеличением давления колебания из этой ветви проявляют заметное «смягчение», то в столбце 7 приводится частота, соответствующая минимуму этой ветви внутри ЗБ при $P = P_c$. Как видно из табл. 2, значительное уменьшение частоты с ростом давления демонстрируют колебания дисперсионной ветви вдоль направления $(\xi, \xi, 0)$ (симметрия B_2 , частота 19 cm^{-1} при $P = P_c$), а также колебания дисперсионной ветви вдоль $(0, \xi, \xi)$ (симметрия A' , частота 20 cm^{-1}). Эти две ветви имеют минимумы при $\xi \approx 0.22$ и 0.25 соответственно.

У колебаний с волновым вектором, принадлежащим другим высоко-симметрическим направлениям ЗБ — $(\xi, 0, 0) \equiv (0, \xi, 0)$ и $(0, 0, \xi)$ — столь сильные ангармонические эффекты отсутствуют.

5. Обсуждение результатов и выводы

Результаты проведенных модельных расчетов, воспроизводя широкий круг динамических свойств решетки $\text{YBa}_2\text{Cu}_3\text{O}_6$, указывают на наличие сильного ангармонизма у нескольких групп ее низкочастотных колебаний, которые принадлежат дисперсионным ветвям, идущим, в частности, вдоль направлений (ξ, ξ, ξ) , $(0, \xi, \xi)$, $(\xi, \xi, 0)$. При уменьшении объема кристалла этот ангармонизм проявляется в виде отчетливо выраженного «размягчения» указанных колебаний, принадлежащих области $0.2 \leq \xi \leq 0.25$. Это продразумевает предрасположенность тетрагональной решетки $\text{YBa}_2\text{Cu}_3\text{O}_6$ к фазовым переходам, приводящим к возникновению несоразмерных низкосимметрических структур, период модуляции которых соответствует примерно четырем — пяти векторам трансляций исходной решетки. Примечательно, что колебания, принадлежащие центру или границам ЗБ, ярко выраженных мягкомодовых свойств не обнаруживают.

Микроскопическим источником обсуждаемых ангармонических эффектов в динамическом аспекте являются межатомные двухцентровые напряжения. Их существенная роль в трансформации колебательного спектра кристалла $\text{YBa}_2\text{Cu}_3\text{O}_6$ при сжатии, по-видимому, связана с кинематическим фактором, определяемым слоистым строением его решетки. Можно предположить, что такие эффекты характерны для слоистых перовскитоподобных сверхпроводящих соединений, в частности для тех, которые имеют несоразмерные структуры.

В связи с этим отметим, что несоразмерные сверхструктуры экспериментально наблюдаются у многокомпонентных перовскитоподобных сверхпроводников на основе висмута [5], гомологический ряд которых можно описать формулой $\text{Bi}_4(\text{Sr}, \text{Ca})_{m+2}\text{Cu}_m\text{O}_8$, где $m = 2, 3, 4, 6$ [33]. При этом соединения $\text{Bi}_2\text{Sr}_2\text{CaCu}_2\text{O}_8$ ($m = 4$) и $\text{Bi}_4\text{Sr}_4\text{CaCu}_3\text{O}_{14}$ ($m = 3$) характеризуются периодом модуляции, который дает приблизительно

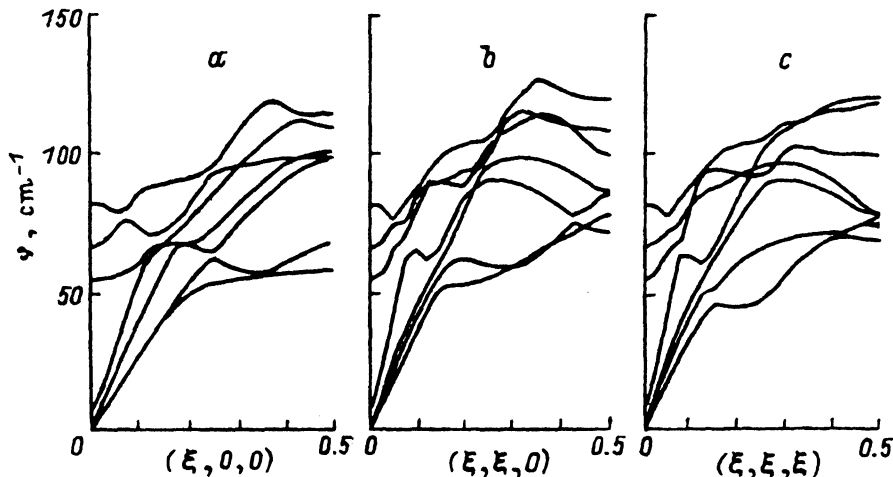


Рис. 6. Дисперсия низкочастотных колебательных ветвей в кристаллах $\text{YBa}_2\text{Cu}_3\text{O}_7$ по разным направлениям в ЗБ без разделения колебаний по симметрии (расчет).

Давление $P = 29.6 \text{ GPa}$ близко к критическому значению P_c .

пятикратное увеличение объема сверхъячейки по отношению к тетрагональной «базовой» [5]. Именно такой порядок несоразмерной модуляции предсказывают результаты наших расчетов для $\text{YBa}_2\text{Cu}_3\text{O}_6$.

Наиболее близкой к $\text{YBa}_2\text{Cu}_3\text{O}_6$ (в структурном отношении) является решетка $\text{YBa}_2\text{Cu}_3\text{O}_7$. Проверим справедливость сделанных выше предположений путем сравнения свойств, предсказанных для этих двух объектов.

На рис. 6 представлена взятая из работы [4] картина колебательных дисперсионных ветвей $\text{YBa}_2\text{Cu}_3\text{O}_7$, вычисленная при $P \approx 30 \text{ GPa}$. Сравнивая форму низкочастотных ветвей с волновым вектором $\mathbf{K} = (\xi, \xi, \xi)$ при $P \approx 30 \text{ GPa}$ в $\text{YBa}_2\text{Cu}_3\text{O}_7$ (рис. 6, c) и $\text{YBa}_2\text{Cu}_3\text{O}_6$ (рис. 5, g), обнаруживаем в обоих случаях минимум при $\xi \approx 0.2$ у наименшей дисперсионной ветви. Эти минимумы отсутствуют при $P = 0$ и являются следствием того, что колебания обеих решеток проявляют мягкомуодовое поведение в этой области ЗБ.

Поскольку, согласно расчетам, понижение стабильности при $P > 0$, обусловленное колебаниями с $\mathbf{K} \approx (0.2, 0.2, 0.2)$, характерно и для решетки $\text{YBa}_2\text{Cu}_3\text{O}_6$, и для $\text{YBa}_2\text{Cu}_3\text{O}_7$, такое же свойство должно сохраняться для всего ряда $\text{YBa}_2\text{Cu}_3\text{O}_{7-x}$ ($0 \leq x \leq 1$). Можно ожидать, что при малом содержании кислорода ($x \approx 1$) это приведет к ФП, аналогичному предсказанному выше для $\text{YBa}_2\text{Cu}_3\text{O}_6$ при $P \approx 34 \text{ GPa}$, а при увеличении содержания кислорода, т. е. по мере формирования цепочек $\text{Cu}_1\text{O}_{\text{Cu}1}$, более вероятен ФП, определяемый механизмом, который описан в [4] и связан с изломом этих цепочек.

Авторы благодарят Х. Лихтенштерн и М.Б. Смирнова за помощь при проведении расчетов, а В.П. Смирнова за определение симметрии решетки $\text{YBa}_2\text{Cu}_3\text{O}_6$ при $P > P_c$.

Работа выполнена при поддержке Российского фонда фундаментальных исследований (проект IV 95-02-06132a).

Список литературы

- [1] B. von Grande, H. Müller-Buschbaum, M. Schweized. Z. Anorg. Allg. Chem. **428**, 120 (1977).
- [2] R.E. Cohen, W.E. Pickett, L.L. Boyer, H. Krakauer. Phys. Rev. Lett. **60**, 817 (1987).
- [3] N. Pyka, W. Reichardt, L. Pintschovius, S.L. Chaplot, P. Schweiss, A. Erb, G. Müller-Vogt. Phys. Rev. **B48**, 7746 (1993).
- [4] М.Ф. Лимонов, А.П. Миргородский. ЖЭТФ **109**, 4 (1996).
- [5] Yu.F. Shepelev, A.A. Levin, Yu.I. Smolin, A.A. Bush, B.N. Romanov. Physica **C215**, 371 (1993).
- [6] N.M. Plakida, V.L. Aksenov, S.L. Drechsler. Europhys. Lett. **4**, 1309 (1987).
- [7] J.R. Hardy, J.W. Flocken. Phys. Rev. Lett. **60**, 2191 (1988).
- [8] A. Bussman-Holder, A. Migliori, Z. Fisk, J.L. Sarrao, R.G. Leisure, S.W. Cheong Phys. Rev. Lett. **67**, 512 (1991).
- [9] M. Born, H. Kun. Dynamical theory of crystal lattices. Clarendon Press. Oxford (1954).
- [10] G.A. Samara, P.S. Percy. In: Solid State Physics Ed. H. Ehrenreich, F. Seitz and D. Turnbull. Academic Press. N.-Y. (1981). V. 36.
- [11] О.Е. Квятковский. Ferroelectrics **153**, 201 (1994).
- [12] А.Н. Лазарев, А.П. Миргородский, И.С. Игнатьев. Колебательные спектры сложных оксидов. Наука. Л. (1975).
- [13] A.P. Mirgorodsky, M.-I. Baraton, P.E. Quintard. J. Phys.: Cond. Matter **1**, 10053 (1989).
- [14] A.P. Mirgorodsky, M.B. Smirnov, L.Z. Grigorieva. Solid State Commun **73**, 153 (1990).
- [15] W. Cochran. CRC Crit. Rev. Sol. Stat. Sci. **2**, 1 (1971).
- [16] A.P. Mirgorodsky, M.B. Smirnov, P.E. Quintard, T. Merle-Mejean. Phys. Rev. **B52**, 9111 (1995).
- [17] A.P. Mirgorodsky, M.B. Smirnov. J. Phys.: Cond. Mater **5**, 3313 (1993).
- [18] M.B. Smirnov, A.P. Mirgorodsky, P.E. Quintard. J. Mol. Struct. **348**, 159 (1995).
- [19] Б.Н. Молчанов, Л.А. Мурадян, В.И. Симонов. Письма в ЖЭТФ **49**, 222 (1989).
- [20] Yu.E. Kitaev, L.V. Laisheva, M.F. Limonov, H. Lichtenstern, A.P. Mirgorodsky, R.A. Evarestov. Physica **C245**, 48 (1995).
- [21] Yu.E. Kitaev, M.F. Limonov, A.G. Panfilov, R.A. Evarestov, A.P. Mirgorodsky. Phys. Rev. **B49**, 9966 (1994).
- [22] Ю.М. Байков, Л.В. Лайшева, М.Ф. Лимонов, А.П. Миргородский, П.П. Сырников. ФТТ **37**, 12, 149 (1995).
- [23] М.Ф. Лимонов, А.П. Миргородский. ЖЭТФ **106**, 1794 (1994).
- [24] S.C. Miller, W.F. Love. Tables of irreducible representations of space groups and corepresentations of magnetic space groups. Pruett Press. Boulder (CO) (1967).
- [25] C. Thomsen, M. Cardona, W. Kress, R. Liu, L. Genzel, M. Bauer, E. Schönherr, U. Schröder. Solid State Commun. **65**, 1139 (1988).
- [26] А.В. Баженов, В.Б. Тимофеев. СФХТ **3**, 1174 (1990).
- [27] W. Reichardt, N. Pyka, L. Pintschovius, B. Hennion, G. Collin. Physica **C162–164**, 464 (1989).
- [28] L. Pintschovius, N. Pyka, W. Reichardt, A.Yu. Rumiantsev, N.L. Mitrofanov, A.S. Ivanov, G. Collin, P. Bourges. Physica **C185–189**, 156 (1991).
- [29] W. Reichardt, L. Pintschovius, B. Hennion, F. Collin. Supercond. Sci. Technol. **1**, 173 (1988).
- [30] В.Д. Кулаковский, О.В. Мисочко, В.Б. Тимофеев, М.И. Еремец, Е.С. Ицкевич, В.В. Стружкин. Письма в ЖЭТФ **47**, 536 (1988).
- [31] K. Syassen, M. Hanfland, K. Strossner, M. Holtz, W. Kress, M. Cardona, U. Schröder, J. Prade, A.D. Kulkarni, F.W. de Wette. Physica **C153–155**, 264 (1988).
- [32] P.M. Wolff, T. Janssen, A. Janner. Acta Cryst. **A37**, 625 (1981).
- [33] А.А. Буш, И.Н. Гончарук, Ю.Э. Китаев, М.Ф. Лимонов, Ю.Ф. Марков, Р.А. Эварестов. ЖЭТФ **102**, 5(11), 1587 (1992).